

التحري عن بكتيريا محلية معززة لنمو النبات PGPR من المحيط الجذري للقمح، وتعريف سلالة واحدة تنتهي للنوع *Enterobacter hormaechei*

وسيم البلخي^١ محمود أبو غرة^٢ فواز العظمة^٣

^١ طالب دراسات عليا، قسم وقاية النبات، كلية الزراعة، جامعة دمشق.

^٢ أستاذ في قسم وقاية النبات، كلية الزراعة جامعة دمشق.

^٣ أستاذ في قسم وقاية النبات، كلية الزراعة - جامعة دمشق.

الملخص:

هدف هذا البحث الى عزل بكتيريا معززة لنمو النبات من المحيط الجذري للقمح من عدد من المناطق المحلية في الجمهورية العربية السورية حيث تمت دراسة ٤٤/٤ عزلة من حيث أهم معايير تعزيز نمو النبات و بينت النتائج ان ١٦ عزلة منها كانت قادرة على تثبيت الازوت الجوي و ١٩ عزلة منها كانت إيجابية لتحليل الفوسفاتات في حين ان ٢١ عزلة كانت محللة للبوتاسي اما انتاج حمض الادنول الخلوي فكانت فقط ١٥ من العزلات قادرة على انتاجه ، وبينت نتائج الاختبارات ان أفضل عزلة هي ذات الرمز ١٦.٢ SY-Ba ونتيجة التحليل البيوكيديائي والجزيئي ورسم شجرة القرابة تبين انها تنتهي الى النوع البكتيري *Enterobacter hormaechei*

الكلمات المفتاحية: المحيط الجذري، بكتيريا معززة لنمو النبات (PGPR)

تاريخ الادراج: ٢٠٢٣/٥/٣١

تاريخ القبول: ٢٠٢٣/٧/١٠



حقوق النشر: جامعة دمشق - سوريا،

بحتفظ المؤلفون بحقوق النشر بموجب

الترخيص CC BY-NC-SA 04

Detection of local Plant Growth Promoting Bacteria from wheat rhizosphere and identification of a promising isolate belonging to *Enterobacter hormaechei*

Waseem Al-Balkhi¹ Mahmoud Abu-Ghorrah² Fawaz Al-Adma³

¹* Postgraduate student, Plant Protection Department, Faculty of Agriculture, Damascus University

² Professor at the Department of Plant Protection, Faculty of Agriculture, Damascus University

³ Professor at the Department of Plant Protection, Faculty of Agriculture - Damascus University

Received: 31/5/2023

Accepted: 10/7/2023



Copyright: Damascus University- Syria, The authors retain the copyright under a CC BY- NC-SA

Abstract:

This research aimed to isolate Plant Growth Promoting Bacteria from wheat rhizosphere from several regions in Syria. A total of 44 bacterial isolates isolated from the rhizosphere region of wheat plants were studied for their ability to enhance plant growth. The results showed that 17 of the isolates were able to fix atmospheric nitrogen, 19 of them were positive for phosphate solubilization, while 21 were potassium solubilizers. As for indole acetic acid production, only 15 of the isolates were able to produce it. The test results showed that the best isolate has been coded SY-Ba 16.2 and as a result of biochemical and molecular analysis and phylogenetic tree, it was found to be long to the bacterial species *Enterobacter hormaechei*.

Keywords: Rhizosphere, Plant Growth Promoting Bacteria (PGPR)

Keywords: Rhizosphere, Plant Growth Promoting Bacteria (PGPR).

المقدمة والدراسة المرجعية:

تعد البكتيريا الجذريّة التي تعزز نمو النبات (PGPR) مجموعة مهمة من البكتيريا المفيدة التي تستعمر الجذور التي تزدهر في جذور النبات والتربة المحيطة، ويمكن أن تتفاعل البكتيريا الجذريّة المعززة لنمو النبات (PGPR) مع النباتات مباشرةً عن طريق زيادة توافر العناصر الغذائيّة الأساسية مثل (النيتروجين والفسفور والحديد)، وإنتاج وتنظيم المركبات المشاركة في نمو النبات (مثـل الهرمونات النباتيـة)، ويمكن أن تؤثـر أيضـاً على نحو غير مباشر على النباتات من خلال حمايتها من الأمراض عن طريق التنافس والتضاد مع مسببـات الأمراض أو تحـريض الاستجابـات الجـهازـية في النـباتـاتـ المـضـيـفةـ. إنـ قـدرـة PGPR على تسـهـيلـ نـموـ النـباتـ ذاتـ أهمـيـةـ أـسـاسـيـةـ، خـاصـةـ فـيـ حـالـتـ الإـجـهـادـ الـلـاحـيـوـيـ، حيثـ يـمـكـنـ لـلـبـكـتـيرـياـ أـنـ تـدـعـمـ لـيـاقـةـ النـباتـ، وـتـحـمـلـ الإـجـهـادـ، وـأـوـ حتىـ المسـاعـدـةـ فـيـ معـالـجـةـ المـلـوـثـاتـ (Oleńska *et al.*, ٢٠٢٠). يـعـتـبـرـ تـشـيـيـتـ الـنـيـتـرـوـجـينـ إـحـدـيـ أـمـ الـآـلـيـاتـ الـمـبـاـشـرـةـ الـتـيـ تـتـبـيـيـتـ بـهـاـ PGPRـ حيثـ يـعـتـبـرـ الـنـيـتـرـوـجـينـ عـنـصـرـاـ غـذـائـيـ حـيـوـيـاـ لـنـموـ النـباتـ، وـهـوـ مـكـونـاتـ الـأـحـمـاضـ الـنـوـوـيـةـ وـالـبـرـوـتـيـنـاتـ وـالـإـنـزـيمـاتـ. وـمـعـ ذـلـكـ، فـإـنـ الـنـيـتـرـوـجـينـ يـسـيـطـرـ عـلـىـ الغـلـافـ الـجـوـيـ فـيـ شـكـلـ غـازـ، وـلـاـ يـمـكـنـ الـوصـولـ إـلـيـهـ مـنـ قـبـلـ النـبـاتـ وـالـحـيـوـانـاتـ وـلـاـمـتـصـاصـ الـنـيـتـرـوـجـينـ بـوـسـاطـةـ النـبـاتـاتـ، يـجـبـ تـحـوـيلـ الـنـيـتـرـوـجـينـ الـجـوـيـ إـلـىـ أـمـونـيـاـ. يـتـمـ مـسـاعـدـةـ هـذـاـ التـحـوـيلـ بـوـسـاطـةـ الـكـاـنـتـاتـ الـحـيـةـ الـدـقـيـقـةـ الـمـثـبـتـةـ لـلـنـيـتـرـوـجـينـ الـتـيـ تـحـتـويـ عـلـىـ مـرـكـبـ إـنـزـيمـيـ يـسـمـيـ الـنـيـتـرـوـجـينـازـ، وـتـسـمـيـ الـعـلـمـيـةـ التـثـبـيـتـ الـبـيـوـلـوـجـيـ الـنـيـتـرـوـجـينـ (Smith *et al.*, ٢٠١٣). الـكـاـنـتـاتـ الـدـقـيـقـةـ الـمـثـبـتـةـ لـلـنـيـتـرـوـجـينـ وـفـيـرـةـ فـيـ مـنـطـقـةـ الـجـذـورـ بـالـتـرـبـةـ. يـمـكـنـ أـنـ يـكـونـ التـثـبـيـتـ الـحـيـوـيـ لـلـنـيـتـرـوـجـينـ إـمـاـ تـكـافـلـاـ مـعـ جـذـورـ النـبـاتـ أـوـ غـيرـ تـكـافـلـاـ (Ahmed & Khan, ٢٠١٢).

وـتـشـكـلـ الـاجـنـاسـ الـبـكـتـيرـيةـ Mesorhizobium Sinorhizobium Rhizobium, Bradyrhizobium، Enterobacter Gluconacetobacter، Azospirillum، Azotobacter، Anabaena، Pseudomonas البـقـولـيـةـ، بـيـنـماـ علىـ سـبـيلـ المـثالـ تـشـكـلـ رـاـيـطـةـ غـيرـ تـكـافـلـاـ وـبـالـتـالـيـ، فـانـ تـلـقـيـحـ الـجـذـورـ أـوـ الـجـذـورـ أـوـ التـرـبـةـ بـالـكـاـنـتـاتـ الـحـيـةـ الـدـقـيـقـةـ الـمـثـبـتـةـ الـنـيـتـرـوـجـينـ يـحـفـزـ نـموـ النـبـاتـ، وـيـعـزـزـ جـودـةـ التـرـبـةـ، وـيـحـافظـ عـلـىـ مـسـتـوـيـ الـنـيـتـرـوـجـينـ فـيـ التـرـبـةـ (Meena *et al.*, ٢٠٢١) (Bhavya & Geetha, ٢٠٢١).

وـمـنـ جـهـةـ أـخـرـ يـعـتـبـرـ الـفـوـسـفـورـ مـنـ الـمـعـذـيـاتـ الـكـبـيرـةـ الـحـيـوـيـةـ الـأـخـرـيـةـ الـتـيـ تـتـطـلـبـهـاـ النـبـاتـاتـ لـتـحـقـيقـ النـمـوـ الـأـمـلـ. فـهـوـ عـنـصـرـ غـذـائـيـ لـأـمـ مـفـرـ مـنـ لـأـمـ يـلـعـبـ دـوـرـاـ رـئـيـسـيـاـ فـيـ عـلـمـيـاتـ التـمـثـيلـ الـغـذـائـيـ، وـنـقـلـ الـإـشـارـاتـ، وـالـتـرـكـيبـ الـحـيـوـيـ لـلـجـزـيـئـاتـ الـكـبـيرـةـ، وـالـتـمـثـيلـ الـضـوـئـيـ (Anand *et al.*, ٢٠١٦).

أـكـثـرـ مـنـ ٩ـ٠ـ%ـ مـنـ الـفـوـسـفـورـ غـيرـ قـابـلـ لـلـذـوبـانـ أـوـ غـيرـ مـتـرـكـبـ، وـبـالـتـالـيـ يـكـونـ مـنـ الصـعـبـ عـلـىـ النـبـاتـ اـمـتـصـاصـهـ. النـبـاتـاتـ قـادـرـةـ عـلـىـ اـسـتـخـدـامـ الـفـوـسـفـاتـ كـأـيـوـنـاتـ أـحـادـيـةـ الـقـاـعـدـةـ أـوـ شـائـيـةـ الـقـاـعـدـةـ. تـظـهـرـ الـبـكـتـيرـياـ الـتـيـ تـذـوبـ الـفـوـسـفـاتـ بـكـثـرـةـ فـيـ تـرـبـةـ الـجـذـورـ هـذـهـ الـبـكـتـيرـياـ الـتـيـ تـذـوبـ فـيـ الـفـوـسـفـاتـ قـادـرـةـ عـلـىـ إـذـابـةـ وـتـمـعـدـنـ الـفـوـسـفـاتـ، وـتـخـلـقـ بـعـضـ الـأـحـمـاضـ الـضـوـئـيـةـ مـنـ خـفـضـنـةـ الـوـزـنـ الـجـزـئـيـ، مـثـلـ حـمـضـ الـجـلـوكـونـيكـ وـحـمـضـ الـسـتـرـيكـ، وـمـتـنـكـ الـبـكـتـيرـياـ الـمـحـلـلـ لـلـفـوـسـفـاتـ الـذـيـ يـمـكـنـهـ إـذـابـةـ الـفـوـسـفـورـ غـيرـ الـعـضـوـيـ إـلـىـ أـيـوـنـاتـ أـحـادـيـةـ الـقـاـعـدـةـ أـوـ شـائـيـةـ الـقـاـعـدـةـ وـتـنـتـمـيـ هـذـهـ الـبـكـتـيرـياـ الـتـابـعـةـ PGPRـ إـلـىـ أـجـنـاسـ مـخـتـلـفـةـ Pseudomonas Bacillus, Beijerinckia, Burkholderia, Enterobacter, Microbacterium, Arthrobacter, Flavobacterium, Rhodococcus, Serratia, Rhizobium, Mesorhizobium, Flavobacterium, Rhodococcus, Serratia, Erwinia, Erwinia، هيـ مـوـادـ مـذـابـةـ لـلـفـوـسـفـاتـ. (Oteino *et al.*, ٢٠١٥)، وـمـعـ ذـلـكـ، فـإـنـ الـأـدـوـعـاتـ الـقـادـرـةـ عـلـىـ إـذـابـةـ الـفـوـسـفـاتـ تـنـتـمـيـ إـلـىـ أـجـنـاسـ الـعـصـيـاتـ، الـمـعـوـيـةـ، Erwinia،

و *Pseudomonas* يصرف النظر عن تزويد النباتات بالفوسفور القابل للذوبان، فإنه يعزز أيضاً نمو النبات عن طريق تنشيط القدرة على إصلاح النيتروجين عن طريق الكائنات الدقيقة المثبتة للنيتروجين (Mohammadi & Sohrabi, 2012)

إنتاج الهرمونات النباتية:

الهرمونات النباتية هي أكثر منظمات النمو أهمية، لأنها تحفز استقلاب النبات، وتحفز آليات دفاع النبات. يمكن افراز الهرمونات النباتية مثل الأكسينات والسيتوكينين والجبريلينات والإيثيلين عن طريق بعض PGPR التي تلعب دوراً مهماً في تنشيط الجذور تتبع *البكتيريا* التي تتنمي إلى *أجناس* *Pantoea*, *Mesorhizobium*, *Bradyrhizobium*, *Bacillus*, *Enterobacter*, *Arthrobacter*, *Pseudomonas* و *Burkholderia* أنواعاً مختلفة من الهرمونات النباتية. تمتلك غالبية الكائنات الحية الدقيقة المعزولة من منطقة الجذور القدرة على تخليق وإطلاق الأكسينات (Khan et al., 2020).

ولعل حمض الأندول الخلوي IAA واحد من أهم الهرمونات النباتية التي تتجه كل من *البكتيريا* والنباتات، كإحدى آليات إدارة نمو النباتات. حيث يعدل الأندول الميكروبي بنية الجذور لزيادة توافر العناصر الغذائية لهذه الميكروبات التي يمكن أن تنتج هرمونات نباتية (AlAli et al., 2022).

تشتت النيتروجين على الأموانيا واتاحتها للنباتات. يتم تقديم *البكتيريا* الجذرية التي تعزز نمو النباتات على نطاق واسع على أنها متكافلة هي *Rhizobium*, *Bradyrhizobium*, *Sinorhizobium*, *Mesorhizobium* و *Frankia* مع النباتات البقولية، و *الأشجار والشجيرات غير البقولية* (Bhavya & Geetha, 2021).

مواد وطرق البحث:

1 جمع العينات:

تم تنفيذ جولات حقلية في عدة مناطق من سوريا وعلى عدد من الحقول، وذلك خلال عامي (٢٠١٨-٢٠١٩) حيث شملت حقول قمح مروية وبعلية وجمعت بكتيريا المحيط الجذري من نباتات قمح أو شعير سلالة ظاهرياً والمجاورة للنباتات المصابة، وتم جمع ١٠ عينات من نباتات لا تبدو عليها أعراض (سلالة ظاهرياً) موجودة إلى جانب نباتات أخرى مصابة بالأمراض أو مجدهة ظاهرياً.

2 عزل البكتيريا:

تم عزل *البكتيريا* من المحيط الجذري بفصل الجذور وغسلها بماء الصنبور ثم بالماء المقطر جيداً ثم قطعت الجذور إلى قطع صغيرة (٣-٢ سم)، ووضعت في أنابيب تحوي ١٠ مل ماء مقطر معقم ثم رجت الأنابيب لمدة ٥ دقائق ، وذلك لفصل *البكتيريا* الموجودة في منطقة المحيط الجذري أو الملتصقة على سطح الجذور، ثم أخذ ١٠ مل من المعلق، وتم مدة ٣ مرات (١٠/١ - ١٠/٠١ - ١٠/٠٠١) وبعدها تم أخذ قطرة بحجم ٣٠ ميكروليتر وتركيز CFU/١٠٧ (وحدة مشكلة للمستعمرة) نشرت على سطح طبق بتري يحتوي على وسط (YPGA) (غلوکوز ٧ غ بيبتون ٧ غ- مستخلص خميرة ٧ غ- أغار ١٤ غ أصيف لها لتر ماء معقم) أو على وسط (KING-B) (بيتون ٢٠ غ- غليسروول ١٠ غ- سلفات المغنيزيوم ١٥ غ- أغار ١٨ غ أصيف إليها لتر من الماء المقطر المعقم على الدرجة ٢٠ س لمرة ٣٠ دقيقة بالأوتوفلافل)، وتم تحضير الأطباق على درجة حرارة ٢٥ س° ولمدة ٣ أيام. تمت تنقية مستعمرات مختلفة من الأطباق بحسب لونها وقطرها وشكلها (محدية - مسطحة - منتظمة - غير منتظمة) وزرعت على أطباق جديدة للحصول على مستعمرات نقية. وتم حفظ العزلات المختارة في وسط الحفظ PYDAC

أبوغرة (peptone 3 g L, yeast extract 3 g L⁻¹, glucose 5 g L, calcium carbonate 40 g L, agar 15 g L) والدوجي، (١٩٩٦).

٣ تعريف البكتيريا بالطرق الكيميائية:

أ- اختبار صبغة غرام حسب طريقة (Suslow *et al.*, 1982) RYV

توضع قطرة من المعلق البكتيري على شريحة ويثبت المعلق بالتسخين يُصبح المحضر بالكريستال البنفسجي لمدة ١ دقيقة، ثم يُغسل المحضر باليود ثم بالماء ثم بالكحول ٩٥٪ حتى يصبح الكحول عديم اللون، يُغسل المحضر بالماء المقطر، ثم يُصبح المحضر بالصفافين لمدة ٢ إلى ٣ دقائق ويُغسل بالماء ويفحص بالعدسة الزينة.

قراءة الاختبار: البكتيريا موجبة غرام تظاهر بلون بنفسجي داكن، البكتيريا سالبة غرام تظاهر بلون وردي أو أحمر

ب- اختبار الأوكسيداز:

تستخدم أقراص الكاشف من شركة Bio Merieux. حيث تقلل المستعمرة بحلقة التلقيح إلى القرص. يدل ظهور اللون البنفسجي على أن الاختبار موجب (Harrigan, 1998).

ت- اختبار مقدرة البكتيريا على تشكيل الأبواغ الداخلية (Philipp *et al.*, 1981) Endospores

يتم وضع ماء مقطر ومعقم في عدة أنابيب اختبار صغيرة بمقدار ٥ مل في كل أنبوب، ثم يضاف إليها بواسطة إبرة معقمة قليلاً من الخلايا البكتيرية، ومن ثم توضع الأدبيب في حمام مائي على الدرجة ٨٠°س لمدة عشرين دقيقة، بعدها تؤخذ قطرات من كل أنبوب وتزرع على أطباق بتري تهوي وسط أغوار مغذى (Brain Heart Infusion) BHI وتحضن على الدرجة ٢٨°س لمدة ٤٨ ساعة، حدوث نمو بكتيري يدل على قدرة البكتيريا على تشكيل الأبواغ.

ث- اختبار السكريات الثلاثية والحديد (TSI)

حيث يشير تغير اللون من الأحمر إلى الأصفر إلى أن البكتيريا قامت بتخمير السكريات سواء في قعر الأنابيب أو على السطح المائي (Bailey and Scott's., 2014)

جـ- اختيار الكاتالاز: (أيو غرة والدوخي، ١٩٩٦)

وهو يوضح قدرة البكتيريا على إنتاج إنزيم الكاتالاز الذي يقوم بتحرير الأوكسجين وفق المعادلة التالية:



استخلاص الـ DNA وتطبيقه، الـ PCR وتحديد التابع النكليوتندي

تم عزل الـ DNA البكتيري من مستعمرات بكتيرية بعمر ٢٤ ساعة باستخدام DNA wizard isolation and purification kit (Wizard® Genomic DNA Purification Kit- Technical Manual)، من شركة Promega وفق تطليمات الشركة الصانعة.

ثم تم تحديد سلامة ونوعية الدنا ونقاوته باستخدام جهاز المطياف الضوئي على اطوال امواج A260/A230 نانومتر .
حضر تمييزات الدنا بتراكيز 10نانوغرام/ملي لتر كما وتبسط اختبار الد CR وتحدد التتابع النوكليوتيدى في مركز الحوت

الإيطالية في مدينة ميلانو -إيطاليا (Macrogen-Europe (Milan Genome Center DNA sequencing laboratory) حيث أُحدى بقاعاً، باستخراج ٥ ميكروبليت من الدنما باستخدام زوج بائيات عام ٢٠١٥ (٢٢-٢٧ و ٤٩-٥١) متخصص

يموراثات rRNA ١٦S (Lane. 1991) ٢ ميكروليتر لكل بادى وبنكيريز (μ l/ 10 poml) وبحجم نهائى ٥ ميكروليتر. وكأن البادى الماش (f8-27) يتسلسلا (نكلوبتندي).

١٦ من ٥

'-3 AGAGTTGATCCTGGCTCAG '5 والبادئ غير المباشر
 5'- GGCTACCTTGTTACGACTT -3 (1212-1862 r)

واستخدم ٢٥ ميكروليتر من (BiocompareGoTap G2-Hot Start Green Master Mix) (وفق تعليمات الشركة Promega) وأكمل الحجم بإضافة ٢١ ميكروليتر من الماء المقطر المعقم. أجري تفاعل الدنا باستخدام جهاز المدور الحراري بطريقة PCR المصنوع من قبل شركة BIORAD، وفق البرنامج التالي: حيث قمنا بالمرحلة الأولى ل搗كك الدنا بدرجة حرارة ٩٥ س لمرة خمسة دقائق، وبعدها التكك الثاني بعده دورات متكررة (٣٥ دورة) على درجة حرارة ٩٥ س لمرة دقيقة واحدة. ومن ثم مرحلة ارتباط البادئات على درجة حرارة ٦٥ س لمرة ٤٥ ثانية فقط، بعدها مرحلة استطالة البادئات على درجة حرارة ٧٢ س لمرة دقيقة ونصف، وبالنهاية القيام بالاستطالة النهائية على درجة حرارة ٧٢ س لمرة خمسة عشر دقيقة.

ثم تم ترطيتها على هلامة Agarose (تركيزها ١٪)، وباستخدام محلول منظم للرحلان (TBE 1X)، واستخدام بكتيريا كشاد موجب والماء المقطر المعقم كشاهد سالب، بالمقارنة مع Ladder 1Kb Plus Agrobacterium, vitis المؤشر الجزيئي وفق الإرشادات المتبعة للوصول إلى حزمة الوزن الجزيئي.

تمت تفكيك نواتج تفاعل PCR باستخدام QIAquick, Germany, Hilden، تبعاً لإرشادات الشركة المصنعة لتحديد الدنا في كال الاتجاهين باستخدام زوج من البادئات العامة (٢٧٨-٢٩١) (١٤٩٢-١٥١٠) تم فحص الدنا بكتيريا على أطوال أمواج A230/A260، وتحديد التتابع النوكليوتيدي بصيغة ملف (ab1)، ثم تم تحديد نوع البكتيريا باستخدام قاعدة بيانات BLAST على موقع البنك الوراثي NCBI.

٥- اختبارات محددة لصفات البكتيريا الجذرية (PGPR) :

أ- اختبار قدرة البكتيريا على إنتاج حمض الأندول الخلوي .

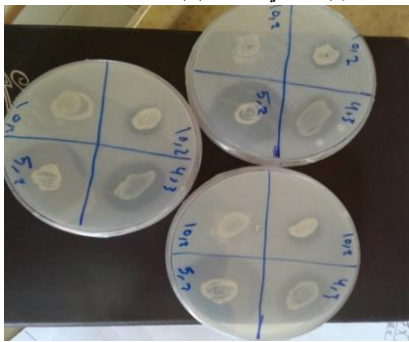
تم اختبار البكتيريا حسب Khamna ورفاقه (2010) حيث تم زرع البكتيريا على وسط YMA بعدها أخذ قرص بقطر ١٠ مم من البكتيريا النامية وزرعت في أنبوب يحوي ٥ مل من وسط (YMB) Yeast Malt Extract Broth مضاد اليه L-tryptophan بتركيز ٢ غل ووضحت على درجة حرارة ٣٠ م° لمدة ٤٨ ساعة ثم فصلت الرشاحة بعملية الطرد المركزي ١٠٠٠٠ دورة/دقيقة. وللكشف عن وجود حمض الأندول الخلوي تم منزج ١ مل من الرشاحة مع ٢ مل من كاشف Salkowski's المكون من ١٥ مل (0,5 M) FECL3(O,5 M) و ٣٠ مل من H2so4 وكان ظهور اللون الوردي بعد ٢٥ - ٣٠ دقيقة دليل على وجود الأندول الخلوي IAA كما في الشكل (١)



الشكل (١) اختبار الأندول

ب - اختبار الفوسفات:

حسب طريقة: Pi kovskaya s (PVK) : وسط PKA
 ١٠ غ غلوكوز - ٥ غ ثلاثي فوسفات الكالسيوم - ٥٠.٥ غ مستخلص خميرة - ٥٠.٥ غ سلفات الأمونيوم - ٠٠.٢ غ كلوريد البوتاسيوم - ٠٠.٢ غ كلوريد الصوديوم - ٠٠.١ غ سلفات المغنيزيوم - ١٥ غ أغار والتحضين على درجة حرارة ٢٨م ولمدة أسبوع . (النتيجة الإيجابية : تشكيل هالات حول العرلات البكتيرية) كما في الشكل (٢).



الشكل (٢) تشكيل هالات حول العرلات البكتيرية) كما في الشكل (٢).

ج - اختبار قدرة البكتيريا على تحويل البوتاسيوم (K):
 حيث يتم الزرع البكتيري في أطباق كما في اختبار الفوسفات، تحتوي وسط ألكساندروف ١٥ غ غلوكوزو ٥٠.٥ غ كبريتات المغنيزيوم SO4 و ٠٠.١ غ كربونات الكالسيوم CaCO3 و ٠٠٠.٦ غ كلوريد الحديد FeCl3 و ٢ غ فوسفات الكالسيوم Ca3PO4 و ٢٠ غ أغار ٢٠ غ فلديبار البوتاسيوم أو ميكا البوتاسيوم (Manib.1986).
 تتجلى إيجابية التحليل عن طريق ظهور حالة شفافة تدل على تحويل البوتاسيوم من الوسط، وتم استخدام نفس الية العمل المتبعة في الاختبار السابقة بتحديد شدة تحويل البوتاسيوم كما في الشكل رقم (٣).



الشكل (٣) ظهور حالة شفافة تدل على تحويل البوتاسيوم

د- اختبار قدرة البكتيريا على تثبيت الأزوت الحر:

لمعرفة قدرة البكتيريا على تثبيت الأزوت الجوي بشكل حر، تم زرع البكتيريا في اطباق بتيرية علوسط مغذي يحتوي على ٥ غ سكروز - ٠.٢ غ K2HPO4 - ٠.٦ غ KH2PO4 - ٠.٢ غ MgSO4.7H2O - ٠.٠٢ غ CaCl2.2H2O - ٢ مل Bromthymol مل محلول (0.2N KOH) - ٤ مل محلول الحديد (Fe (III) EDTA (1.64%) - ١ مل محلول فيتامين D - ١٥ غ أغار). حيث أن ظهور اللون البرتقالي في الوسط المغذي الأزرق هو دليل على قدرة البكتيريا على تثبيت الأزوت الجوي وفقاً ما هو موضح في الشكل (٤).



الشكل (٤) تحول اللون حول المستعمرات البكتيرية المثبتة للأزوت إلى اللون البرتقالي

النتائج:

العزلات البكتيرية:

تم اختبار العزلات البكتيرية من أربعة عشر عينة من مناطق مختلفة (دمشق - ريف دمشق - درعا) وتم الحصول على ٤ عزلة بكتيرية ورمزن العزلات كما في الجدول (١) كما تم اختبار قدرتها على تعزيز نمو النبات وانتهاها لـ PGPR من خلال تحليل الفوسفات والبوتاسي وقدرتها على إنتاج الأندول وتثبيت الأزوت.

الرقم	رقم العزلة	P	K	N	IAA
16.1		-	-	-	-

جدول (١) اختبار قدرتها العزلات البكتيرية على تحليل الفوسفات والبوتاسي وقدرتها على إنتاج الأندول وتثبيت الأزوت.

+++	+	+	+	33.3.1	
+++	+++	-	-	33.4	
	-	+	+	33.5	
-	+++	-	-	34.1	
-	++	-	-	34.2	
+++	-	+	-	34.3.1	
-	+	++	+	35.1	
++	-	+	-	35.2	
-	+++	+++	-	35.3	
-	-	+	+	39.3	
+	-	-	+	39.8	
+	-	+++	+++	40.1	
-	-	+	+	40.2	
-	++	++	++	42.1	
-	-	-	-	42.3.1	
-	-	+++	-	42.3	
-	-	+++	-	42.4	
-	-	-	-	46.1	
-	++	+	+	46.2.1	
+	++	++	++	46.2.2	
			+	30.2	

++	-	-	-	٣١٦.	
-	-	-	-	١٦.١.١	
++	+++	+++	++++	٣١٦.	
-	-	-	-	١٦.٤	
-	-	-	-	١٨.١.١	
-	+	-	-	١٨.١.٢	
-	+	-	-	١٨.٢	
+	-	+	+	١٨.٣	
-	-	-	-	١٩.٣	
++++	-	-	+	١٩.٤	
-	-	-	+++	٢٠.١	
+	-	++	-	٢٠.٢	
+	-	+++	-	٢٠.٢.١	
++				٢٥.١	
-	-	++++	++++	٢٨.٢	
-	-	++	+	٣٠.١	
++	-	-	-	٣٢.١.١	
-	-	-	++	٣٢.١.٢	
-	++	-	-	٣٢.٢	
-	++	++	+	٣٢.٣	
-	+++	-	-	٣٢.٣.٢	
-	+++	-	-	٣٣.١	

١. انتاج الازوت:

بينت نتائج اختبار العزلات ٤٤ قيام ١٦ عزلة من العزلات بثبيت الازوت الجوي حيث تم تقدير قدرة العزلة على التثبيت لونيا من خلال تغير لون الوسط من اللون الأزرق الى البرتقالي.

جدول رقم (٢) بين نتائج اختبار العزلات لقدرتها على تثبيت الازوت.

حيث تدل + ان العزلة مثبتة للازوت بشكل بسيط، ++ العزلة مثبتة للازوت بشكل جيد، +++ العزلة مثبتة للازوت بشكل ممتاز

٢. انتاج الفوسفات:

بيت نتائج تحليل الفوسفات للعزلات ٤٤ قيام ١٩ عزلة من العزلات بتحليل الفوسفات من الشكل غير الميسر الى الشكل الميسر والذي يسهل امتصاصه من قبل النبات وكانت النتائج كما في الجدول رقم (٣).

جدول رقم (٣) بين العزلات المحطة للفوسفات ومعامل الذوبان لكل عزلة:

العزلة	١٦.٢	١٨.٣	١٩.٤	٢٠.١	٢٨.٢	٢٠.١	٢٠.٢	٢٠.٢	٢.٧	٣٠.٢
معامل الذوبان	٤.٧	١.٨	٢.١	٤	٤.٦	٢.٢	٤.٦	٤.٦	٢.٢	٢.٧
العزلة	٣٢.١٢	٣٢.٢	٣٣.٣١	٣٣.٥	٣٥.١	٣٩.٣	٣٩.٨	٣٩.٣	٣٥.١	٣٩.٨
معامل الذوبان	٢.٧	٢.١	١.٩	٢.٣	٢.١	٢.١	٢.٣	٢.٣	٢.١	٢
العزلة	٤٠.١	٤٠.٢	٤٢.١	٤٢.٢١	٤٦.٢٢	٤٦.٢٢	٤٦.٢٢	٤٦.٢٢	٤٦.٢٢	
معامل الذوبان	٤	١.٨	٢.٦	٢.٦	٢.٢	٢.٢	٢.٦	٢.٦	٢.٢	

وتم حساب معامل الذوبان وفق المعادلة التالية :

$$\text{معامل الذوبان} = \frac{\text{المستعمرةقطر+الماءقطر}}{\text{المستعمرةقطر}}$$

(Jadoon et al., 2019).

ونلاحظ إن العزلات /١٦.٢/، /٢٨.٢/ أعطت أعلى معامل ذوبان مقارنة مع باقي العزلات المختبرة. حيث بلغت معاملات الذوبان للعزلات أعلى /٤٠.٢/، /٤٠.٣/ على التوالي في حين أعطت العزلات /١٨.٣/، /١٨.٤/ أقل معامل ذوبان حيث بلغت معاملات الذوبان لهذه العزلات /١٨.٠/.

٣. تحليل البوتاسيوم:

أظهرت نتائج اختبار العزلات /٤/ على وسط ألكساندروفان /٢١/ عزلة من من العزلات أعطت نتائج إيجابية لجهة تحليل البوتاسيوم وتشكيل هالة تحل حل المستعمرة البكتيرية وفق الجدول رقم (٤).

الجدول رقم /٤/ بين العزلات المحطة لبوتاسيوم ومعامل الذوبان لكل عزلة.

العزلة	١٦.٢	١٨.٣	٢٠.٢	٢٠.٢١	٢٨.٢	٣.١	٣٢.٣
معامل الذوبان	٢.٨	١.٢	١.٤	١.٧	٣.٤	١.٤	١.٣
العزلة	٣٣.٣١	٣٣.٥	٣٥.٢	٣٥.٣	٣٥.٣	٣٥.٣	٣٩.٣
معامل الذوبان	١.١٢	١.١٤	١.٦	١.٦	١.١	٢.١	١.٢١
العزلة	٤٠.١	٤٠.٢	٤٢.٣	٤٢.٤	٤٦.٢١	٤٦.٢٢	٤٦.٢٢
معامل الذوبان	٢.٧	١.٦	٢.٤	٢.٤	١.١	١.١	١.٧

القدرة على إذابة البوتاسيوم (مؤشر الذوبان، SI)

$$\text{المعامل} = \frac{\text{المستعمرةقطر+الماءقطر}}{\text{المستعمرةقطر}}$$

(Jadoon et al., 2019).

٤. إنتاج حمض الأندول الخلوي:

أظهرت نتائج اختبار العزلات أن ١٥ عزلة من العزلات أعطت نتائج إيجابية لجهة إنتاج حمض الأندول الخلوي وكانت النتائج وفق الجدول رقم (١).

جدول رقم (١) بين العزلات المنتجة لحمض الأندول الخلوي.

حيث تدل إشارة + على شدة اللون وبالتالي شدة الإنتاج لمحض الأندول الخلوي من خلال تدرج تغير اللون من الأصفر إلى الأحمر.

نتائج تعريف العزلات.

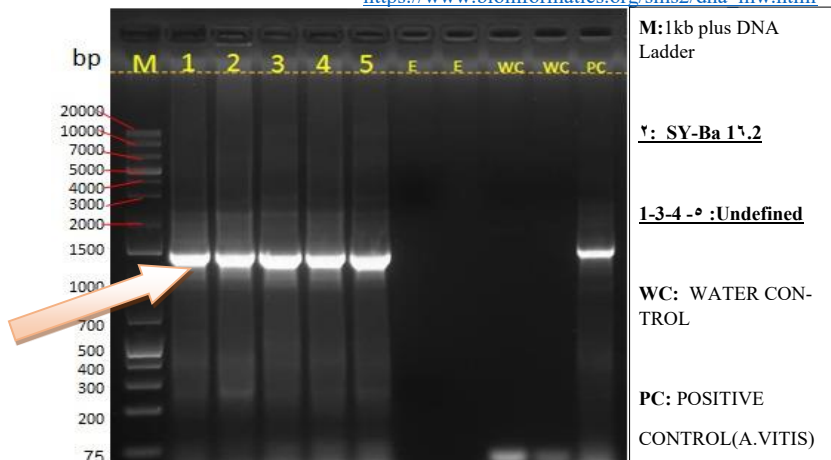
من خلال الاطلاع على النتائج تم العمل على تعريف أفضل العزلات من خلال الاختبارات المدروسة وكانت العزلة ١٦.٢ أفضل العزلات المدروسة من حيث اجتماع الصفات المطلوبة وتميزت نتائج الاختبارات البيوكيميائية ان العزلة ١٦.٢ هي من البكتيريا عصوية سالبة غرام لاهوائية اختبارية غير متبوغة سالبة لاختبار الاوكسیداز ومحبطة لاختبار الكاتالاز.

نتائج التعريف الجزيئي للعزلة ١٦.٢ :

بينت نتائج الرحلان الكهربائي على هلامة (Agarose 1%) وجود الحزمة المرغوبة بوزن جزيئي DNA Molecular Weight results

"GGGTGGAGGG" "Untitled" starting "Results for 1378 residue sequence" 422856.97Da وفق سلم DNA Ladder ملحوظ سليم حسب

https://www.bioinformatics.org/sms2/dna_mw.html



الشكل (١٢) صورة للرحلان الكهربائي لدنا العزلة (SY_Ba16.2)

تم الحصول على نتائج تسلسل النيكلويتيدات باستخدام تقنية PCR والذي بلغ ٣٧٨ نيكليوتيد ل الكامل الجينوم البكتيري.

تم تحديد التتابع النيكلويتدي للقطعة المضخمة باستخدام بادئات 16S rDNA

ولدى مقارنة تسلسل النيكلويتيدات بالبنك الوراثي لموقع الوراثي (NCBI)

GGGTGGAGGGAGGGAGGGGGTTAGTGGTAGCGGGAGGTTAACGCTACC
 TACTTCTTGCAACCCACTCCATGGTGTGACGGCGGTGTACAGG
 CCCGGGAACGTATTACCGTGGCATTCTGATCCACGATTACTAGCGATTC
 CGACTTCATGGAGTCGAGTTGCAGACTCCAATCCGGACTACGACGTACTT
 TATGAGGTCCGTTGCTCGCGAGGTCGCTTCTCTTGTATACGCCATT
 TAGCACGTGTAGCCCTACTCGTAAGGGCCATGATGACTTGACGTCA
 CCCCACCTCCTCCAGTTTACTGGCAGTCTCCTTGAGTTCCGGCC
 TAACCGCTGGCAACAAAGGAAAAGGGTTGCGCTCGTGCAGGACTTAACC
 CAACATTTCACAACACGAACGTGACGACCCATGCAGCACCTGGCTCAA
 ATTCCCGAAGGGGACCAAAGCATCTGCTAAATCTCTGGATGTCAAGGAA
 TAAGTAAGGGTCTCCCGGTCATCCTAAACACATGCTCCACCGCT
 TGCGGGGCCCCCTCAATTCAATTGAATTITACCTTGCGGCGTACTC
 CCCAAGCGGTCCACTTAACCGGTTAACCTGGAGCCACGCCCTCAAGGGC
 ACAACCTCCAAGTCCACATCCTTACCGCGTGGAAATACCAAGGTATCTAA
 TCCCTGGTTGCTCCCCACGCTTCGCACTGAGCGTCAGTCTTGTCCAGG
 GGGCCGCTTCGCCACCGGTATTCCTCCAGATCTCTACGCATTCAACGC
 TACACCTGAAATTCTACCCCTCTACCGACTCTAGCGTCCAGTTCC
 GATGCAGTTCCAAGTTGAGCCCCGGGATTTCACATCCGACTTGACAGA
 CCGCCCGCCTCGCCTTACGCCCAGTAATTCCAATTAAACGCTTGACCCCT
 CCGTATTACCGCGGCTGCTGGCACGAAATTAAACCGGTGCTTCTCGGA
 GTAACGTCAATTGACAGGGGTTATTAAACCCCTGAAACCTTCCCTCCCCG
 CTGAAAGTACTTACAAACCCGAAAGGCCCTTCCAAAACCCCCGCCAA
 GGCTTCTTCAGGCTTGGCCCCTTGGCAAATTTCCCCCACGGTTGCC
 CCCCCCAAAAAAATTGAAACGGTTTTAATTCTGTTGGTTGGTT
 TCCCCCTAAAAAAACCTAGGGGAATCCCCCAAGGGTAACCCCTAAC
 CCCCCCAACAAAAACCAATACCCCTTGGGGCCCCCAGAGGGAAAA
 AAGGCCGAGAGGCCCTTCTTTTCTCCCCCATTITTTGG
 GGATAAAAAAAACGATTITTCAT

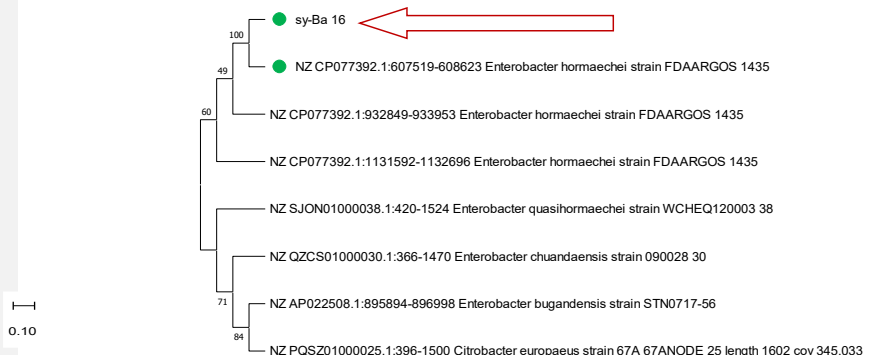
[BLAST: Basic Local Alignment Search Tool \(nih.gov\)](https://www.ncbi.nlm.nih.gov/blast/)

تبين ان العزلة البكتيرية ١٦.٢ تتبع الى عائلة Enterobacteriaceae جنس Enterobacter وتشابه مع النوع Enterobacter hormaechei بنسبة تشابه بلغت ٩٤.٣٨

بناءً على نتائج البنك الوراثي تم رسم شجرة القرابة للعزلة ١٦.٢SY-Ba مع السلالات الأكثر تشابها لها، حيث تم استخدام طريقة Neighbor-Joining method التي قدمها Saitou عام ١٩٨٧. للوصول الى التقارب الوراثي بين العزلة (١٦.٢) وثمان سلالات بكتيرية تتبع الى الجنس البكتيري Enterobacter وتم حساب مسافات التقارب الوراثي باستخدام الطريقة الإحصائية "الاحتمالية المركبة القصوى" (Maximum Composite Likelihood). تم إزالة جميع المواقع الغامضة لكل زوج تسلسلي. أجريت هذه التحليلات الوراثية باستخدام برنامج (MEGA11 Tamura, 2021).

بيّنت شجرة القرابة الشكل رقم (١٢) وجود فرعين أساسيين حيث ضمن العنقود الأول أربع سلالات بكتيرية تابعة لثلاثة أنواع وهي Enterobacter hormaechei

E. quasihormaechei, E. bugandensis, E. chuandaensis, Citrobacter europaeus



الشكل رقم (١٢) شجرة القرابة الوراثية للعزلة SY_Ba 16.2

كما بينت مصفوفة التشابه الناتجة للعزلة المدروسة وأكثر العزلات تشابهاً معها حسب موقع Sequence Identity And) SIAS (<http://imed.med.ucm.es/Tools/sias.html>) (Similarity Enterobacter hormaechei 1435 بأن أقرب سلالته هي- .SY-Ba 16.2 بنسبة تشابه ٩٤.٣٨ % مع العزلة المدروسة 607519-608623

المناقشة:

بينت النتائج أن العزلات البكتيرية المختبرة /٤ عزلة/ أعطت نتائج متباعدة وفق الاختبارات المدروسة حيث أن ١٦ من العزلات كانت قادرة على تثبيت الأزوت الجوي و ١٩ منها كانت إيجابية لتحليل الفوسفات في حين أن ٢١ عزلة كانت محللة للبوたس أما إنتاج حمض الأندول الخلوي فكانت فقط ١٥ من العزلات قادرة على إنتاجه. حيث تبين تفوق /٦ عزلات /١٦.٢-٣٣.٢-٣٣.١-٣٣.٠٢-٣٣.٠٣-٣٥.٣-٤٠.٢-٣٣.٠/ في إنتاج الأزوت حيث كانت مثبته بشكل كبير للأزوت الجوي.

وفي المقابل تميزت ٣ عزلات بمعامل تحليل للفوسفات ≤٤ . وهي العزلات /٤٠.١-٢٨.٢-١٦.٢/ في حين تميزت ثلاثة عزلات فقط بتحليل البوتاسي بمعامل تحليل ≤٢.٧ وهي /٤٠.١-٢٨.٢-١٦.٢/ وحيث نلاحظ من النتائج أن أفضل العزلات البكتيرية محللة للفوسفات هي محللة للبوتاسي بكفاءة عالية أيضا.

أما بالنسبة لإنتاج حمض الأندول الخلوي فقد تميزت /٤/ عزلات وهي /١٩.٤-٣٤.٣١-٣٣.٤-٣٣.٣١/ في حين أعطت العزلة ١٦.٢ نتائج إيجابية متوسطة لجهة إنتاج حمض الأندول الخلوي. ومن خلال الاطلاع على النتائج السابقة كانت العزلة ١٦.٢ أكثر العزلات تميزاً من ناحية تثبيت الأزوت وتحليل الفوسفات والبوتاسي وحيث أنها أعطت نتائج إيجابية متوسطة بإنتاج حمض الأندول الخلوي. ومن خلال نتائج التعريف البيوكيديائي والجزيئي تم تأكيد ان العزلة المدروسة تتبع لجنس Enterobacter والنوع hormaechei بنسبة تشابه وصلت الى ٩٤.٣٨ % وأطلق على العزلة رمز 16.2 .SY-Ba

وهو ما يؤكد انتقامها إلى مجموعة البكتيريا المعززة لنمو النبات PGPR وهذه النتائج تتفق مع ما توصل إليه Jha عام ٢٠١١ الذي أكد أن الأجناس الموجودة في عائلة Enterobacteriaceae التي تميز بأنها من مجموعة PGPB هي *Serratia*, *Pantoea*, *Kluyvera*, *Enterobacter*, *Erwinia*, *Klebsiella*, *Citrobacter*, *Enterobacter hormaechei* والتي تستطيع بشكل وهذا ما يتفق أيضاً مع ما أكده Ranawat بدراساته عام ٢٠٢١ على بكتيريا *Enterobacter hormaechei* و التي تستطيع بشكل طيفي تثبيت N وإذابة المغذيات الكبيرة المرغوبة P و K. وتحويل K-feldspar إلى بوتاسيوم وإذابة ثلاثي فوسفات الكالسيوم إلى فوسفات وإنتاج حمض الإندول الخلوي IAA كما أكد أن البذور التي تمت معالجتها بكتيريا *Enterobacter hormaechei* أبدت زيادة واضحة بالكتلة الحيوية المعززة وزيادة في طول الساق عند مقارنتها بجموعة التحكم (الشاهد) وأدت إلى تعزيز ليس فقط نمو النبات بل عدلت بنية الجذر مما أدى إلى تحسين إنتاجية المحاصيل (Ranawat *et al.*, 2021).

وقام Ranawat بفحص أربع سلالات مختارة لإنتاج السيدروفورات وذوبان الفوسفات وإنتاج حمض الإندول الخلوي (IAA) لدراسة إمكانية تعزيز نمو النبات. تمت مقارنة المجموعات التجريبية مع مجموعة تحكم لم تلق أي علاج، وكانت العزلة EB8D هي أفضل عزلة من حيث تعزيز النمو مع تحسن ٢٣.٨٥٪ في طول الساق و ١١٠.٨٦٪ في طول الجذر و ١١٨.٨٥٪ في الوزن الجاف مقارنة بالشاهد غير المعالج. أظهرت نشاط التحكم الحيوي أن سلالة EB8D قد حسنت طول الساق بنسبة ١١١.٨٥٪ وطول الجذر بنسبة ١١٨.٨٥٪ والوزن الجاف بنسبة ٤٥٢.٣٨٪.

أكَّد تحليل rRNA ١٦ S أن هذه السلالة تنتهي إلى جنس *Enterobacter* ولديها تشابه عالٍ مع *Enterobacter hormaechei* subsp. *steigerwaltii* (Ranawat *et al.*, 2021).

وأكَّد Jha أن spp *Enterobacter* لديها مجموعة واسعة من خصائص PGP التي تشمل تثبيت النيتروجين، وإذابة فوسفور التربة، وإنتاج المضادات الحيوية، والقدرة على إفراز منتجات حامض الحديد، والكيناز، وزنزة الأمين ACC ، والإذيمات المائية إلى جانب السكريات الخارجية وفي تعزيز مسامية التربة. كما أكَّد أن قدرات PGP هذه البكتيريا من يمكن أن يجعلها مرشحاً محتملاً لنمو النبات وتطوره. نظراً لدورها المتنوع في نمو المحاصيل ، فقد تم تطوير عدد من هذه السلالات تجاريًا كمحفزات لنمو النبات وعوامل المكافحة الحيوية (Jha *et al.*, 2011).

الاستنتاجات:

خلال دراسة ٤ عزلة بكتيرية من المحيط الجذري للقمح في عدة مناطق سورية أظهرت (٣٨) عزلة منها خصائص ايجابية ضمن معايير البكتيريا الجذرية المعززة لنمو النبات PGPR. من بين هذه العزلات تفوقت العزلة ١٦,٢ من ناحية إنتاج الأروت وتحليل الفوسفات والبوتاسي وبنتيجة التحليل البيوكيميائي والجزيئي ورسم شجرة القرابة تبين أنها تنتهي إلى النوع البكتيري *Enterobacter hormaechei* مما يرشحها للاستخدام في نظام زراعة القمح بعد إجراء مزيد من الاختبارات والتجارب الحالية.

التمويل: هذا البحث ممول من جامعة دمشق وفق رقم التمويل (٥٠١١٠٠٢٠٥٩٥).

References:

- أبو غرة، محمود والدوهي، زياد الصواف. (١٩٩٦-١٩٩٧). أمراض النبات البكتيرية (النطري والعملي)، منشورات جامعة دمشق. ص (٤٣٢-٤٤٠).
- Ahemad, M., & Khan, M. S. (2012). Evaluation of plant-growth-promoting activities of rhizobacterium *Pseudomonas putida* under herbicide stress. *Annals of microbiology*, 62(4), 1531-1540 .
- Anand, K., Kumari, B., & Mallick, M. (2016). Phosphate solubilizing microbes: an effective and alternative approach as biofertilizers. *Int. J. Pharm. Pharm. Sci*, 8(2), 37-40 .
- Arancon, N. Q., Owens, J. D., & Converse, C. (2019). The effects of vermicompost tea on the growth and yield of lettuce and tomato in a non-circulating hydroponics system. *Journal of plant nutrition*, 42(19), 2447-2458 .
- Atieno, M., Herrmann, L., Nguyen, H. T., Phan, H. T., Nguyen, N. K., Srean, P., . . . Shutsrirung, A. (2020). Assessment of biofertilizer use for sustainable agriculture in the Great Mekong Region. *Journal of environmental management*, 275, 111300 .
- Basu, A., Prasad, P., Das, S. N., Kalam, S., Sayyed, R., Reddy, M., & El Enshasy, H. (2021). Plant growth promoting rhizobacteria (PGPR) as green bioinoculants: recent developments, constraints, and prospects. *Sustainability*, 13(3), 1140 .
- Bhavya, K., & Geetha, A. (2021). Plant growth promoting rhizobacteria. *Advances in Agriculture Sciences*, 61, 87 .
- Bishnoi, U. (2018). Agriculture and the dark side of chemical fertilizers. *Environ. Anal. Ecol. Stud*, 3(1), 552 .
- Chandran, H., Meena, M., & Swapnil, P. (2021). Plant growth-promoting rhizobacteria as a green alternative for sustainable agriculture. *Sustainability*, 13(19), 10986 .
- Das, B., Sarma, H. K., Konwar, G., Saikia, J., & Rabha, J. (2016). Screening and Identification of traits in plant growth promoting rhizobacteria from rhizospheric soils of *Persea bombycina*. *Biotechnology and Biochemistry* 2(2), 11-18 .
- Fascella, G., Montoneri, E., & Francavilla, M. (2018). Biowaste versus fossil sourced auxiliaries for plant cultivation: The Lantana case study. *Journal of Cleaner Production*, 185, 322-330 .
- Ilangumaran, G., & Smith, D. L. (2017). Plant growth promoting rhizobacteria in amelioration of salinity stress: a systems biology perspective. *Frontiers in Plant Science*, 8, 1768 .
- Jabborova, D., Wirth, S., Kanepalli, A., Narimanov, A., Desouky, S., Davranov, K., . . . Syed, A. (2020). Co-inoculation of rhizobacteria and biochar application improves growth and nutrientsin soybean and enriches soil nutrients and enzymes. *Agronomy*, 10(8), 1142 .
- Jadoon, S., Afzal, A., Asad, S., Sultan, T., Tabassam, T., Umer, M., & Asif, M. (2019). Plant growth promoting traits of rhizobacteria isolated from potato (*Solanum tuberosum* L.) and their antifungal activity against *Fusarium oxysporum*. *JAPS: Journal of Animal & Plant Sciences*, 29 .(٤)

15. Jha, C. K., Aeron, A., Patel, B. V., Maheshwari, D. K., & Saraf, M. (2011). Enterobacter: role in plant growth promotion. *Bacteria in agrobiology: Plant growth responses*, 159-182 .
16. Kesavan, P., & Swaminathan, M. (2018). Modern technologies for sustainable food and nutrition security. *Current Science*, 115(10), 1876-1883 .
17. Khan, N., Bano, A., Ali, S., & Babar, M. A. (2020). Crosstalk amongst phytohormones from planta and PGPR under biotic and abiotic stresses. *Plant Growth Regulation*, 90, 189-203 .
18. Meena, M., Zehra, A., Swapnil, P., Marwal, A., Yadav, G., & Sonigra, P. (2021). Endophytic nanotechnology: an approach to study scope and potential applications. *Frontiers in Chemistry*, 9, 613343 .
19. Mohammadi, K., & Sohrabi, Y. (2012). Bacterial biofertilizers for sustainable crop production: a review. *ARPN J Agric Biol Sci*, 7(5), 307-316 .
20. Oleńska, E., Małek, W., Wójcik, M., Świecicka, I., Thijs, S., & Vangronsveld, J. (2020). Beneficial features of plant growth-promoting rhizobacteria for improving plant growth and health in challenging conditions: A methodical review. *Science of the Total Environment*, 743, 140682 .
21. Oteino, N., Lally, R. D., Kiwanuka, S., Lloyd, A., Ryan, D., Germaine, K. J., & Dowling, D. N. (2015). Plant growth promotion induced by phosphate solubilizing endophytic *Pseudomonas* isolates. *Frontiers in microbiology*, 6, 745 .
22. Ranawat, B., Bachani, P., Singh, A., & Mishra, S. (2021). *Enterobacter hormaechei* as plant growth-promoting bacteria for improvement in *Lycopersicum esculentum*. *Current microbiology*, 78, 1208-1217 .
23. Smith, B. E., Richards, R. L., & Newton, W. E. (2013). *Catalysts for Nitrogen Fixation: Nitrogenases, Relevant Chemical Models and Commercial Processes* (Vol. 1): Springer Science & Business Media.
24. Walpola, B., & Hettiarachchi, R. (2020). Plant Growth Promoting Traits of Phosphate Solubilizing Bacteria Isolated from Agricultural Lands in Sothern Sri Lanka. *J. Food Agric*, 13, 2-18.
25. Jadoon, S., Afzal, A., Asad, S., Sultan, T., Tabassam, T., Umer, M., & Asif, M. (2019). Plant growth promoting traits of rhizobacteria isolated from potato (*Solanum tuberosum L.*) and their antifungal activity against *Fusarium oxysporum*. *JAPS: Journal of Animal & Plant Sciences*, 29(4).
26. Jha, C. K., Aeron, A., Patel, B. V., Maheshwari, D. K., & Saraf, M. (2011). Enterobacter: role in plant growth promotion. *Bacteria in agrobiology: Plant growth responses*, 159-182.
27. Ranawat, B., Mishra, S., & Singh, A. (2021). *Enterobacter hormaechei* (MF957335) enhanced yield, disease and salinity tolerance in tomato. *Archives of microbiology*, 203, 2659-2667.